

В. І. Ковальчук*

Київський національний університет імені Тараса Шевченка, Київ, Україна

*Відповідальний автор: sabkiev@gmail.com

ПОЛЯРИЗАЦІЯ НУКЛОНІВ У РЕАКЦІЯХ ДВОНУКЛОННОЇ ПЕРЕДАЧІ ЗА УЧАСТЮ ЛЕГКИХ ЯДЕР

У рамках ейконального наближення та моделі подвійного фолдінгу запропоновано формалізм обчислення кутових залежностей поляризації нуклонів, що виникають у реакціях двонуклонної передачі. Описано поляризації протонів з реакцій типу (${}^3\text{He}, p$) на мішенях ${}^7\text{Li}$, ${}^9\text{Be}$ та ${}^{12}\text{C}$ із залишковими ядрами в основному стані при енергії падаючих частинок 33 МеВ. Розраховані величини поляризації задовільно узгоджуються з відповідними експериментальними даними.

Ключові слова: інклюзивна реакція, ейкональне наближення, модель подвійного фолдінгу.

1. Вступ

Реакції прямої передачі нуклонів (зриву і підхоплення) займають особливе місце серед інших ядерних реакцій. Відносна простота механізму дала змогу створити достатньо повну теорію цих реакцій ще у 1960 - 1970-х роках. Тоді ж з'ясувалося, що реакції передачі нуклонів дають можливість доволі нескладним чином одержувати спектроскопічну інформацію щодо рівнів мішеней та залишкових ядер [1, 2].

Сплеск інтересу до цих реакцій останнім часом зумовлений інтенсивними дослідженнями радіоактивних ядер з надлишком протонів або нейтронів поблизу долини стабільності [3 - 5]. У цих реакціях, крім появи залишкового ядра у зв'язаному стані, стає ймовірним також і утворення резонансних станів. Ця обставина робить реакції передачі нуклонів унікальним інструментом для вивчення нестабільних ядер і астрофізичних реакцій типу (N, γ) і (p, α) . Крім того, реакції двонуклонного переносу, індуковані легкими і важкими іонами, є ефективним інструментом для отримання інформації про ядерні парні кореляції [6]. Наприклад, експерименти з використанням радіоактивних пучків нейтронно-надлишкових іонів показали значне переважання реакцій двонейтронної передачі [7 - 9]. Такі реакції, разом із пружним розсіянням, дають змогу безпосередньо вивчати нейтронну периферію ядер, віддалених від смуги стабільності.

Зазвичай аналіз експериментальних даних з реакцій передачі нуклонів виконують у рамках DWBA методу [10] або методу зв'язаних каналів [11]. Однак у деяких випадках може бути застосовною також і дифракційна ядерна модель: загальний формалізм інклюзивної реакції дейтрон-

ного зриву [12] виявився досить гнучким [13], щоб успішно описувати кутові та енергетичні спектри частинок з реакцій одонуклонної передачі і розвалу за участю легких кластерних ядер [14, 15]. У даній роботі буде показано, що формалізм [12] є придатним також і для аналізу поляризацій частинок із реакцій двонуклонної передачі типу (${}^3\text{He}, p$).

2. Формалізм

Усі нижченаведені розрахунки виконувались із застосуванням системи одиниць $\hbar = c = 1$. Кулонова взаємодія не враховувалася. Будемо розглядати снаряд ${}^3\text{He}$ як двокластерне ядро, що складається з дейтрона і протона. Вважатимемо, що при зіткненні ${}^3\text{He}$ з мішенню протон (1-й кластер) звільнюється, а дейтрон (2-й кластер) поглинається ядром мішені.

Нехай \vec{k}_0 – хвильовий вектор відносного руху центра мас ${}^3\text{He}$, що має зіткнутися з ядром-мішенню. Амплітуда імовірності того, що протон матиме хвильовий вектор \vec{k}_1 , а дейтрон буде знаходитись у точці \vec{r}_2 , має вигляд [16]

$$a(\vec{k}_1, \vec{r}_2) = \int d\vec{r}_1 \exp(-i\vec{k}_1 \vec{r}_1) (1 - \hat{\omega}_1) \varphi(\vec{r}), \quad (1)$$

де \vec{r}_1 – радіус-вектор протона; $\varphi(\vec{r})$ – хвильова функція ${}^3\text{He}$, $\vec{r} = \vec{r}_1 - \vec{r}_2 = \{\vec{r}_\perp, (\vec{k}_0 / k_0)z\}$, причому \vec{r}_\perp – складова вектора \vec{r} така, що $(\vec{r}_\perp \vec{k}_0) = 0$. Вісь Z збігається з напрямком, який визначається вектором \vec{k}_0 . Крім того, $\vec{r}_1 = \{\vec{b}_1, (\vec{k}_0 / k_0)z_1\}$, $\vec{r}_2 = \{\vec{b}_2, (\vec{k}_0 / k_0)z_2\}$, де $(\vec{b}_1 \vec{k}_0) = (\vec{b}_2 \vec{k}_0) = 0$, так що $\vec{r}_\perp = \vec{b}_1 - \vec{b}_2$.

© Автор(и), 2025

Стаття опублікована ІЯД НАН України за умовами відкритого доступу за ліцензією CC BY-NC 4.0

Дифракційний фактор $\hat{\omega}_1$ у (1) є оператор [17]

$$\hat{\omega}_1 = \omega_1 - i\gamma_1 \exp(i\delta_1) \vec{\sigma}_1 (\vec{\nabla}_1 \times \omega_1 \vec{\nabla}_1), \quad (2)$$

де γ_1 і δ_1 – відповідно стала і фаза спіно-орбітальної взаємодії протона з ядром, $\vec{\nabla}_1 \equiv \partial / \partial \vec{r}_1$, $\vec{\sigma}_1$ – матриці Паулі.

Поляризація протонів визначатиметься вектором [18]

$$\vec{P}(\vec{k}_1) = \frac{\text{Tr} \vec{\sigma}_1 \rho(\vec{k}_1)}{\text{Tr} \rho(\vec{k}_1)}, \quad (3)$$

де $\rho(\vec{k}_1)$ – матриця густини

$$\rho(\vec{k}_1) = \int d\vec{b}_2 (1 - |\omega_2|^2) a(\vec{k}_1, \vec{r}_2) a^\dagger(\vec{k}_1, \vec{r}_2). \quad (4)$$

Можливість абсорбції протона і дейтрона ядром враховується у дифракційному наближенні множниками $\omega_{1,2}$. Не обмежуючи загальності, виберемо ω_1 і ω_2 у вигляді двопараметричних гауссіанів

$$\omega_{1,2} = \alpha_{1,2} \exp(-b_{1,2}^2 / \beta_{1,2}). \quad (5)$$

Вважаємо, що радіальна залежність хвильової функції ${}^3\text{He}$ також описується гауссіаном

$$\varphi(\vec{r}) = \left(\frac{2}{\pi\beta_3} \right)^{3/4} \exp(-|\vec{r}|^2 / \beta_3). \quad (6)$$

Уведення в (1) і (4) підінтегральних функцій $\omega_{1,2}(b_{1,2})$ і $\varphi(\vec{r})$ гауссівського типу дає змогу виконати аналітичне інтегрування і одержати сліди матриць (3) у вигляді виразів замкненої форми, що дає можливість записати

$$\vec{P}(\vec{k}_1) = \frac{G(\vec{k}_1)}{H(\vec{k}_1)} (\vec{\kappa}_1 \cdot \vec{k}_1), \quad (7)$$

де величини $G(\vec{k}_1)$, $H(\vec{k}_1)$ визначені в Додатку А, а $\vec{\kappa}_1$ – поперечна складова імпульсу $\vec{k}_1 = \{ \kappa_1, (\vec{k}_0 / k_0) k_{1z} \}$. З виразу (7) випливає, що $\vec{P} \sim (\vec{\kappa}_1 \cdot \vec{k}_1)$, тобто вектор поляризації перпендикулярний площині реакції, до якої належать вектори $\vec{\kappa}_1$ і \vec{k}_1 . Величини κ_1 і k_{1z} зв'язані з кутом вильоту протона Θ_1 в лабораторній системі відліку співвідношенням [19]

$$\kappa_1 = (k_0 / 3 + k_{1z}) \text{tg} \Theta_1. \quad (8)$$

Щоб знайти залежність поляризації від кута вильоту протона, вирази для $G(\vec{k}_1)$ і $H(\vec{k}_1)$ в (7) треба проінтегрувати за z -компонентою вектора \vec{k}_1 . Виражаючи $d\vec{k}_1$ у компонентах циліндричної системи координат та приймаючи до уваги (8), маємо

$$P(\Theta_1) = \frac{\bar{G}(\kappa_1)}{\bar{H}(\kappa_1)}, \quad (9)$$

де

$$\bar{H}(\kappa_1) = \int_{-\infty}^{\infty} (k_0 / 3 + k_{1z})^2 H(\kappa_1, k_{1z}) dk_{1z}, \quad (10)$$

а $\bar{G}(\kappa_1)$ одержується з (10) заміною підінтегральної функції $H(\kappa_1, k_{1z}) \rightarrow G(\kappa_1, k_{1z})$.

Зауважимо, що формула для поляризації (3) справедлива для процесів розсіяння нуклонів як на безспінових ядрах, так і на ядрах з ненульовим спіном. В останньому випадку матрицею густини буде прямий добуток матриць густин для падаючих і розсіяних частинок, проте залежність (9) поляризації від кута не зміниться [19].

3. Результати розрахунків та їх аналіз

Викладений у попередньому розділі формалізм було застосовано для опису експериментальних даних по вимірюванню поляризацій протонів, що виникають у реакціях типу (${}^3\text{He}, p$) на мішенях ${}^7\text{Li}$, ${}^9\text{Be}$ та ${}^{12}\text{C}$ із залишковими ядрами в основному стані при енергії падаючих частинок 33 МеВ [20].

Параметри функцій профілю (5) обчислювалися в ейкональному наближенні у спосіб, описаний у [21, 22] (Додаток Б). Наближені значення параметрів спіно-орбітальної взаємодії γ_1 і δ_1 визначалися з експериментів по вимірюванню поляризації протонів при їх пружному розсіянні на ядрах ${}^7\text{Li}$, ${}^9\text{Be}$ та ${}^{12}\text{C}$ [28, 29]. Так, з формули Фермі для поляризації нуклона [30] випливає, що фаза $\delta_1 = \arcsin \theta_{\max}$, де θ_{\max} – кут, за якого поляризація сягає максимуму. Константа спіно-орбітальної взаємодії в першому наближенні теорії збурень є $\gamma_1 = (k_1^2 \theta_{\max}^2)^{-1}$ [19].

На рис. 1 представлено обчислені поляризації протонів (суцільні криві), які звільнюються в реакціях ${}^7\text{Li}({}^3\text{He}, p){}^9\text{Be}$, ${}^9\text{Be}({}^3\text{He}, p){}^{11}\text{B}$ та ${}^{12}\text{C}({}^3\text{He}, p){}^{14}\text{N}$ при енергії снаряда 33 МеВ. Параметри нормування уявної частини протон-ядерного потенціалу подвійного фолдінгу становили: $N_W^{(1)} = 0,8$ (див. рис. 1, а), $N_W^{(1)} = 0,35$ (див. рис. 1, б) та $N_W^{(1)} = 1$ (див. рис. 1, в). Для дейтрон-

ядерного потенціалу відповідна величина в усіх випадках дорівнювала $N_W^{(2)} = 1$. Це – єдині підгінні параметри, що використовувалися в розрахунках. Для порівняння на цьому ж рисунку наведено поляризації протонів з роботи [20],

обчислені за DWBA-методом (штрихові криві): при цьому, як і у даній роботі, ядро ${}^3\text{He}$ розглядалося як двокластерне ($p+d$) і також вважалося, що у досліджених реакціях відбувається передача дейтрона.

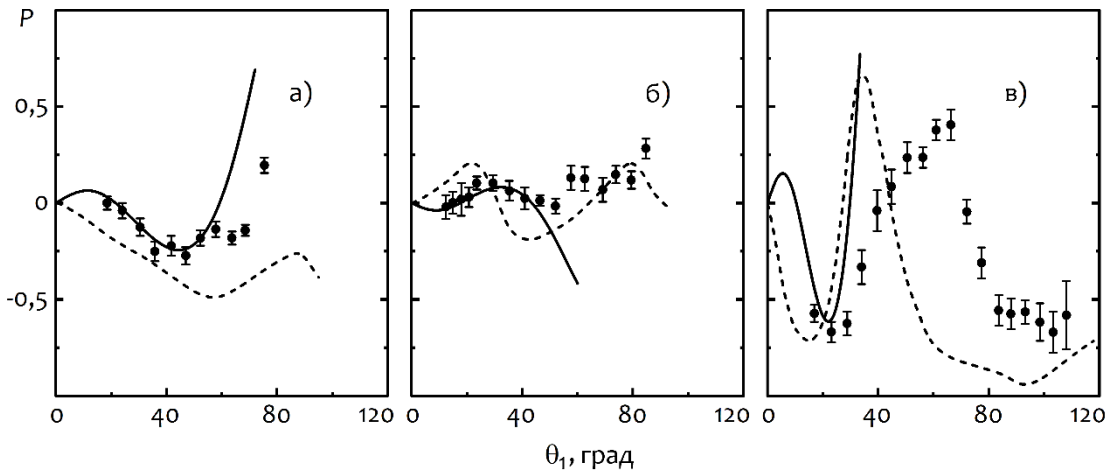


Рис. 1. Поляризація протонів, що звільнюються внаслідок реакції (${}^3\text{He}, p$) на ядрах-мішенях ${}^7\text{Li}$ (а), ${}^9\text{Be}$ (б) та ${}^{12}\text{C}$ (в) із залишковими ядрами в основному стані при енергії падаючих частинок 33 MeV; θ_1 – кут вильоту частинки в системі центра інерції. Пояснення типів кривих – у тексті. Експериментальні дані з [20].

З рис. 1, а, б можна бачити, що суцільні криві задовільно описують експерименти в діапазоні кутів вильоту протона $\theta_1 < 60^\circ$. Експериментальні дані на рис. 1, в описуються лише якісно, як і у DWBA-методі [20] (штрихова крива).

У роботі [20] відмічалось, що навіть спрощений DWBA-аналіз даних експерименту на основі розгляду реакцій ${}^{12}\text{C}({}^3\text{He}, p){}^{14}\text{N}$, ${}^9\text{Be}({}^3\text{He}, p){}^{11}\text{B}$ і ${}^7\text{Li}({}^3\text{He}, p){}^9\text{Be}$ як передачі дейтрона або квазидейтронного кластера веде до задовільного опису даних (штрихові дані на рис. 1). Автори [20] вважають, що згадані реакції можуть бути описані механізмом кластерного переносу без урахування особливостей зв'язаного стану двох переданих нуклонів. Аналогічний підхід використано і в даній роботі, де формалізм дифракційної ядерної моделі дає змогу при описі експериментів одержувати дещо кращі результати, порівняно з DWBA-методом, як це впливає з аналізу рис. 1.

4. Висновки

У рамках ейконального наближення та моделі подвійного фолдінгу запропоновано метод обчислення поляризацій нуклонів, що виникають у реакціях двонуклонної передачі. Показано, що формалізм матриці густини, розвинений у дифракційному наближенні для опису поляризацій нуклонів із інклюзивної реакції дейтронного зриву, може бути також застосовним і до реакцій

типу (${}^3\text{He}, p$) при зіткненні снаряда з легкими мішенями.

У даній роботі для ${}^3\text{He}$ і ядер-мішеней використовувалися прості модельні хвильові функції у вигляді однопараметричних гаусіанів, проте формалізм може бути легко узагальнений на випадок застосування у розрахунках так званих реалістичних хвильових функцій розкладанням їх у збіжний ряд по гауссоїдальному базису.

У [31, 32] було показано, що дифракційний формалізм є справедливим при $q \ll k$ і $k^{-1} \ll R$, де q – переданий імпульс, k – імпульс падаючої частинки, R – радіус ядра-мішені. Ця умова не залежить від енергії і дає таку оцінку для кута вильоту частинки: $\theta < 10^\circ$. Насправді формалізм Глаубера - Ситенка добре працює і за межами вихідних припущень моделі (див., наприклад, [33, 34]). Ця теза підтверджується аналізом результатів, одержаних і у даній роботі (див. рис. 1).

Показано, що реакція двонуклонної передачі типу (${}^3\text{He}, p$) може бути джерелом поляризованих протонів, поляризація яких є наслідком існування спин-орбітальної взаємодії протона, що входить до складу ${}^3\text{He}$, з ядром-мішенню. Як впливає із (7), поляризація протонів є нормальною до площини реакції і має місце лише тоді, коли колінеарна до напрямку руху падаючого ядра ${}^3\text{He}$ складова вектора імпульсу протона у снаряді відмінна від нуля.

У цьому додатку представлено результат обчислення слідів матриць у чисельнику та знаменнику виразу (3) після аналітичного інтегрування в (4) з функціями (5) і (6). Формула (3) набуватиме вигляду

$$\bar{P}(\vec{k}_1) = \frac{\text{Tr} \bar{\sigma}_1 \rho(\vec{k}_1)}{\text{Tr} \rho(\vec{k}_1)} = \frac{G(\vec{k}_1)}{H(\vec{k}_1)} (\vec{\kappa}_1 \cdot \vec{k}_1), \quad (\text{A.1})$$

де $\vec{\kappa}_1$ – поперечна складова імпульсу вилітаючої частинки $\vec{k}_1 = \{\vec{\kappa}_1, k_{1z}\}$.

Величина $G(\vec{k}_1)$ в (A.1) визначається таким чином

$$G(\vec{k}_1) = 2\gamma_1 \sin \delta_1 \beta_1 \beta_3 \alpha_1 \{G_1(\kappa_1) - G_2(\kappa_1)\} \kappa_1 k_{1z}, \quad (\text{A.2})$$

$$G_1(\kappa_1) = \frac{4}{(\beta_1 + \beta_2 + \beta_3)^2} \exp\left[-\frac{\beta_3}{2} \frac{2\beta_1 + 2\beta_2 + \beta_3}{\beta_1 + \beta_2 + \beta_3} \kappa_1^2\right] - \frac{4\alpha_2}{(2\beta_1 + \beta_2 + 2\beta_3)^2} \exp\left[-\frac{\beta_3}{2} \frac{2\beta_1 + \beta_2 + \beta_3}{2\beta_1 + \beta_2 + 2\beta_3} \kappa_1^2\right], \quad (\text{A.3})$$

$$G_2(\kappa_1) = \frac{\alpha_1 \beta_1}{(\beta_1 + \beta_3)^2} \left[\frac{4}{\beta_1 + 2\beta_2 + \beta_3} - \frac{\alpha_2}{\beta_1 + \beta_2 + \beta_3} \right] \times \exp\left[-\frac{\beta_3}{2} \frac{\beta_1}{\beta_1 + \beta_3} \kappa_1^2\right]. \quad (\text{A.4})$$

Для $H(\vec{k}_1)$ в (A.1) маємо вираз

$$H(\vec{k}_1) = H_1(\kappa_1) + H_2(\kappa_1) + H_3(\kappa_1) + H_4(\kappa_1, k_{1z}), \quad (\text{A.5})$$

$$H_1(\kappa_1) = (4 - \alpha_2) \exp\left[-\frac{\beta_3}{2} \kappa_1^2\right] - \frac{8\alpha_1 \beta_1}{\beta_1 + \beta_2 + \beta_3} \times \exp\left[-\frac{\beta_3}{2} \frac{2\beta_1 + 2\beta_2 + \beta_3}{\beta_1 + \beta_2 + \beta_3} \kappa_1^2\right], \quad (\text{A.6})$$

$$H_2(\kappa_1) = \frac{4\alpha_1 \alpha_2 \beta_1}{2\beta_1 + \beta_2 + 2\beta_3} \exp\left[-\frac{\beta_3}{2} \frac{2\beta_1 + \beta_2 + \beta_3}{2\beta_1 + \beta_2 + 2\beta_3} \kappa_1^2\right], \quad (\text{A.7})$$

$$H_3(\kappa_1) = \frac{\alpha_1^2 \beta_1^2}{\beta_1 + \beta_3} \left[\frac{4}{\beta_1 + 2\beta_2 + \beta_3} - \frac{\alpha_2}{\beta_1 + \beta_2 + \beta_3} \right] \times \exp\left[-\frac{\beta_3}{2} \frac{\beta_1}{\beta_1 + \beta_3} \kappa_1^2\right], \quad (\text{A.8})$$

$$H_4(\kappa_1, k_{1z}) = \gamma_1^2 \frac{\alpha_1^2 \beta_1^2}{\beta_1 + \beta_3} \left[\frac{\beta_3^2}{\beta_1 + \beta_3} \kappa_1^2 k_{1z}^2 \left[\frac{4}{\beta_1 + 2\beta_2 + \beta_3} - \frac{\alpha_2}{\beta_1 + \beta_2 + \beta_3} \right] + \beta_2 (\kappa_1^2 + 2k_{1z}^2) \left[\frac{8}{(\beta_1 + 2\beta_2 + \beta_3)^2} - \frac{\alpha_2}{(\beta_1 + \beta_2 + \beta_3)^2} \right] \right] \exp\left[-\frac{\beta_3}{2} \frac{\beta_1}{\beta_1 + \beta_3} \kappa_1^2\right]. \quad (\text{A.9})$$

Додаток Б

Параметри $\alpha_{1,2}$ та $\beta_{1,2}$ кластер-ядерних функцій профілю (5) обчислювались таким чином. Уведемо розподіли нуклонних густин [23] для кластерів снаряда і мішені

$$\rho_{1,2}(b) = \rho_{1,2}(0) \exp(-b^2 / a_{1,2}^2), \quad (\text{Б.1})$$

$$\rho_T(b) = \rho_T(0) \exp(-b^2 / a_T^2), \quad (\text{Б.2})$$

де b – параметр удару. Зважаючи на [24] і формулу (6), визначимо величини, що входять до (Б.1), (Б.2) як

$$\rho_{1,2}(0) = A_{1,2} (\sqrt{\pi} a_{1,2})^{-3}, \quad a_{1,2} = R_{1,2} / \sqrt{\ln 2}, \quad (\text{Б.3})$$

$$\rho_T(0) = (\pi \beta_3 / 2)^{-3/2}, \quad a_T = \sqrt{\beta_3 / 2}, \quad (\text{Б.4})$$

де $A_{1,2}$ – масові числа, а $R_1 = 0,81$ фм, $R_2 = 1,956$ фм – середньоквадратичні радіуси кластерів. Значення β_3 у (Б.4) вибиралося таким, щоб відтворювати середньоквадратичний радіус ядра ${}^3\text{He}$ [25]: $\beta_3 = 20,475$ фм².

Представимо кластер-ядерні функції профілю як [26]

$$\alpha_{1,2}(b) = 1 - \exp(-\chi_{1,2}(b) / 2), \quad (\text{Б.5})$$

де

$$\chi_{1,2}(b) = N_W^{(1,2)} \frac{\pi^2 \bar{\sigma}_{NN}^{(1,2)} \rho_{1,2}(0) \rho_T(0) a_{1,2}^3 a_T^3}{a_{1,2}^2 + a_T^2 + R_N^2} \times \exp\left(-\frac{b^2}{a_{1,2}^2 + a_T^2 + R_N^2}\right) \quad (\text{Б.6})$$

– ейкональна фаза [21, 22]. Тут $N_W^{(1,2)}$ – параметр нормування уявної частини кластер-ядерного потенціалу подвійного фолдінгу, а $\bar{\sigma}_{NN}^{(1,2)}$ – усереднений за ізоспіном повний переріз нуклон-нуклонного розсіяння [23, 27], який залежить від

енергії падаючої частинки, а також від кількості протонів і нейтронів у складі снаряда та мішені.

Значення параметрів $\alpha_{1,2}$ та $\beta_{1,2}$ одержували шляхом χ^2 -апроксимації функції (Б.5) залежністю (5).

СПИСОК ВИКОРИСТАНОЇ ЛІТЕРАТУРИ / REFERENCES

1. N.K. Glendenning. Nuclear stripping reactions. *Annu. Rev. Nucl. Part. Sci.* 13 (1963) 191.
2. N.K. Glendenning. Nuclear spectroscopy with two-nucleon transfer reactions. *Phys. Rev.* 137 (1965) B102.
3. J.E. Escher et al. One-nucleon pickup reactions and compound-nuclear decays. *EPJ Web Conf.* 178 (2018) 03002.
4. K. Wimmer. Nucleon transfer reactions with radioactive beams. *J. Phys. G* 45 (2018) 033002.
5. P. Adsley. Transfer reactions in nuclear astrophysics. *EPJ Web Conf.* 275 (2023) 01001.
6. A. Parmar et al. Understanding the two neutron transfer reaction mechanism in $^{206}\text{Pb}(^{18}\text{O}, ^{16}\text{O})^{208}\text{Pb}$. *Nucl. Phys. A* 940 (2015) 167.
7. A. Chatterjee et al. $1n$ and $2n$ transfer with the Borromean nucleus ^6He near the Coulomb barrier. *Phys. Rev. Lett.* 101 (2008) 032701.
8. I. Tanihata et al. Measurement of the two-halo neutron transfer reaction $^1\text{H}(^7\text{Li}, ^9\text{Li})^3\text{H}$ at 3A MeV. *Phys. Rev. Lett.* 100 (2008) 192502.
9. D. Montanari et al. Neutron pair transfer in $^{60}\text{Ni} + ^{116}\text{Sn}$ far below the Coulomb barrier. *Phys. Rev. Lett.* 113 (2014) 052501.
10. M. Igarashi, K. Kubo, K. Yagi. Two-nucleon transfer reaction mechanisms. *Phys. Rep.* 199 (1991) 1.
11. I.J. Thompson. Coupled reaction channels calculations in nuclear physics. *Comput. Phys. Rep.* 7 (1988) 167.
12. A.G. Sitenko. On the theory of the stripping reaction. *Sov. Phys. J. Exp. Theor. Phys.* 4 (1957) 492.
13. H. Utsunomiya. “Stripping” reaction in heavy ion projectile dissociation: Extended Serber model. *Phys. Rev. C* 32 (1985) 849.
14. V.I. Kovalchuk. Inclusive reactions of stripping and fragmentation involving light cluster nuclei at intermediate energies. *Nucl. Phys. At. Energy* 23 (2022) 20.
15. V.I. Kovalchuk. Inclusive reaction of deuteron fragmentation upon its collision with a target deuteron. *Nucl. Phys. At. Energy* 25 (2024) 13.
16. A.I. Akhiezer, A.G. Sitenko. Contribution to the theory of stripping at high energies. *Sov. Phys. J. Exp. Theor. Phys.* 6 (1958) 799.
17. В.К. Тартаковський. Про поляризацію нуклонів, що утворюються при дифракційному розщепленні дейтрона. Укр. фіз. журн. 6 (1961) 273. / V.K. Tartakovsky. On the polarization of nucleons produced by diffraction splitting of a deuteron. *Ukrainian Journal of Physics* 6 (1961) 273. (Ukr)
18. A.G. Sitenko. *Scattering Theory* (Springer Series in Nuclear and Particle Physics) (Springer-Verlag, Berlin, 2012) 312 p.
19. A.G. Sitenko. *Theory of Nuclear Reactions* (Singapore, World Scientific, 1990) 636 p.
20. P.M. Lewis et al. The $(^3\text{He}, p)$ reaction induced by polarized ^3He on ^7Li , ^9Be and ^{12}C . *Nucl. Phys. A* 404 (1983) 205.
21. V.I. Kovalchuk. Deuteron stripping on nuclei at intermediate energies. *Nucl. Phys. A* 937 (2015) 59.
22. V.I. Kovalchuk. Polarized-deuteron scattering by spin-zero target nuclei at intermediate energies. *Eur. Phys. J. A* 60 (2024) 148.
23. S.K. Charagi, S.K. Gupta. Coulomb-modified Glauber model description of heavy-ion reaction cross section. *Phys. Rev. C* 41 (1990) 1610.
24. V.K. Lukyanov, E.V. Zemlyanaya, B. Słowiński. Total cross sections for nucleus-nucleus reactions within the Glauber-Sitenko approach for realistic distributions of nuclear matter. *Phys. At. Nucl.* 67 (2004) 1282.
25. G. Audi, A.H. Wapstra, C. Thibault. The Ame2003 atomic mass evaluation: (II). Tables, graphs and references. *Nucl. Phys. A* 729 (2003) 337.
26. В.К. Лукьянов, Е.В. Земляная, К.В. Лукьянов. Ядро-ядерное рассеяние в высокоэнергетическом приближении и оптический потенциал фолдинга. *Препр. ОИЯИ, Дубна. P4-2004-115.* / V.K. Luk'yanov, E.V. Zemlyanaya, K.V. Luk'yanov. Nucleus-nucleus scattering in the high-energy approximation and the optical folding potential. *Preprint JINR, Dubna. P4-2004-115.*
27. P. Shukla. Glauber model for heavy ion collisions from low energies to high energies. *arXiv: nucl-th/0112039.*
28. L. Rosen, J.E. Brolley, L. Stewart. Elastic scattering of polarized 10-MeV protons by complex nuclei. *Phys. Rev.* 121 (1961) 1423.
29. L. Rosen, W.T. Leland. Elastic scattering of 14.5-MeV polarized protons by pairs of isotopes and isobars. *Phys. Rev. Lett.* 8 (1962) 379.
30. E. Fermi. Polarization of high energy protons scattered by nuclei. *Nuovo Cim.* 11 (1954) 407.
31. R.J. Glauber. Cross sections in deuterium at high energies. *Phys. Rev.* 100 (1955) 242.
32. D.R. Harrington. Double scattering corrections to high-energy diffraction scattering from deuterons. *Phys. Rev.* 135 (1964) B358.
33. O.D. Dal'karov, V.A. Karmanov. Scattering of low-energy antiprotons by nuclei. *Sov. Phys. JETP* 62 (1985) 645.
34. V.I. Kovalchuk. Test of the Glauber formula for nucleon-deuteron scattering at intermediate energies. *Phys. At. Nucl.* 75 (2012) 33.

V. I. Kovalchuk*

Taras Shevchenko National University of Kyiv, Kyiv, Ukraine

*Corresponding author: sabkiev@gmail.com

**NUCLEON POLARIZATION IN TWO-NUCLEON TRANSFER REACTIONS
INVOLVING LIGHT NUCLEI**

Within the framework of eikonal approximation and the double folding model, a formalism for calculating the angular dependencies of nucleon polarizations arising in two-nucleon transfer reactions is proposed. The polarizations of protons from ($^3\text{He}, p$) reactions on ^7Li , ^9Be , and ^{12}C targets with residual nuclei in the ground state at an incident particle energy of 33 MeV are described. The calculated polarization values satisfactorily fit the corresponding experimental data.

Keywords: inclusive reaction, eikonal approximation, double folding model.

Надійшла / Received 06.11.2024